

初期不整のある板要素の圧縮耐荷力について(その3)

大阪大学工学部 正 前田幸雄
大阪府立高専 正 ○日笠隆司

1. まえがき 初期不整のある四辺単純支持均一圧縮板の弾性解析を幾何学的非線形のみ考慮し、1項のたわみ関数により簡略化して弹性解析し、板の極限状態を応力度でモデル化し、初期不整のある板の耐荷力の算出について考察する。

2. 解析 対象とする板はFig.1に示す。幅bに対する比較的細長い四辺単純支持の板の両端に均一圧縮荷重を載荷したものである。残留応力度は軸方向のみとし、分布は軸方向において一定で、同一断面で均一となる矩形とする。耐荷力実験によると、Fig.1のよう比較的細長い板の極限状態のたわみ波形は正方形板の波形とほぼ同じとみなして得るのでFig.1より幅bと同じ長さの板を取り出し、四辺単純支持の正方形均一圧縮板として解析する。Fig.2はこの正方形板の一辺の長さbを1とし、無次元化表示したものである。Fig.2の板に対するいすみの連続条件式・面外力の均合方程式は次のよう示される。

$$\frac{\partial^4 \bar{w}}{\partial \xi^4} + 2 \frac{\partial^4 \bar{w}}{\partial \xi^2 \partial \eta^2} + \frac{\partial^4 \bar{w}}{\partial \eta^4} = \left(\frac{\partial^2 w}{\partial \xi \partial \eta} \right)^2 - \frac{\partial^2 w}{\partial \xi^2} \frac{\partial^2 w}{\partial \eta^2} - \left(\frac{\partial^2 w_b}{\partial \xi \partial \eta} \right)^2 + \frac{\partial^2 w_b}{\partial \xi^2} \frac{\partial^2 w_b}{\partial \eta^2} \quad (1)$$

$$\begin{aligned} \frac{\partial(w-w_0)}{\partial \xi^4} + 2 \frac{\partial(w-w_0)}{\partial \xi^2 \partial \eta^2} + \frac{\partial(w-w_0)}{\partial \eta^4} &= 12(1-\nu^2) \left\{ \frac{\partial(\bar{w}+\bar{w}_R)}{\partial \eta^2} \frac{\partial^2 w}{\partial \xi^2} \right. \\ &\quad \left. + \frac{\partial^2 \bar{w}}{\partial \xi^2} \frac{\partial^2 w}{\partial \eta^2} - 2 \frac{\partial^2 \bar{w}}{\partial \xi \partial \eta} \frac{\partial^2 w}{\partial \xi \partial \eta} \right\} \end{aligned} \quad (2)$$

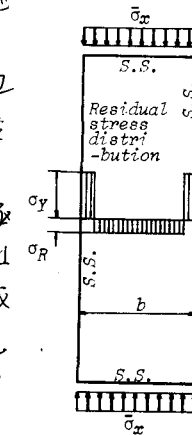


Fig.1 Rectangular plate loaded in edge compression

板厚さにより無次元化された初期たわみ w_0 た

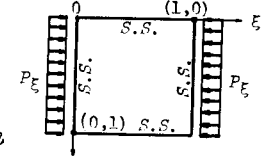


Fig.2 Non-Dimensional Representation

たわみ w は ξ 平面を基準としたものであり、既知の初期たわみ係数 a_0 、未知の正たわみ係数 a により、Fig.2 の四辺単純支持境界条件を満足する 2 重フーリエサイン級数の 1 項のみを用いて次式のよう簡略化して示す。

$$w = a_0 \sin \pi \xi \sin \pi \eta, \quad w = a \sin \pi \xi \sin \pi \eta \quad (3)$$

(1), (3) 式より応力関数の特解 Φ_p は次式のよう導かれる。

$$\Phi_p = -\pi \xi \eta^2 / 2 + (a^2 - a_0^2) (\cos 2\pi \xi + \cos 2\pi \eta) / 32 \quad (4)$$

面内境界条件は載荷二辺で直線、支持二辺では軸方向の直応力度が 0 であるから、Fig.2 の板の境界条件を満足する(1)式の応力関数の同次解 Φ_h 及び応力関数 $\bar{\Phi}$ は次式で示される。

$$\begin{aligned} \Phi_h &= \frac{1}{2\pi + \sinh 2\pi} \left\{ -(2\pi + \sinh 2\pi) \cosh 2\pi \eta + (1 - \cosh 2\pi)(2\pi \eta \cosh 2\pi \eta - \sinh 2\pi \eta) \right. \\ &\quad \left. + \sinh 2\pi \cdot 2\pi \eta \sinh 2\pi \eta \right\} \cos 2\pi \xi \end{aligned} \quad (5)$$

$$\Phi = \Phi_p + \Phi_h \quad (6)$$

記号 ν : ポアソン比、 E : 弹性係数、 $\bar{\Phi}_x$: 平均圧縮応力度、 $\bar{\sigma}_Y$: 降伏点応力度、 $\bar{\sigma}_R$: 圧縮残留応力度、残留応力度比 $\alpha = -\bar{\sigma}_R/\bar{\sigma}_Y$ 、無次元化応力関数 $\bar{\Phi}$ ($\bar{\Phi}$ は残留応力度 $\bar{\sigma}_R$ をもつもの): エアリーの応力関数/ $E t^2$ 、無次元化平均圧縮応力度 P_ξ : $(b/t\sqrt{\bar{\sigma}_Y/E})^2 \bar{\Phi}_x / \bar{\sigma}_Y$ 、入: $b/t\sqrt{\bar{\sigma}_Y/E}$

(2) 式'にガラーキン法を適用し、(3), (4), (5), (6)式'を代入すると未知係数 α に関する3次方程式²⁾が導かれる。

$$\frac{\pi^4}{32} \left[1 + \frac{1 - \cosh 2\pi}{\pi (2\pi + \sinh 2\pi)} \right] \alpha^3 - \left\{ \frac{\pi}{4} \left[\pi \frac{\bar{\sigma}_x}{\sigma_Y} + (1+\alpha) \sin \left(\frac{\pi \alpha}{1+\alpha} \right) \right] \left(\frac{b}{t} \sqrt{\frac{\sigma_Y}{E}} \right)^2 \right. \\ \left. + \frac{\pi^4}{32} \left[1 + \frac{1 - \cosh 2\pi}{\pi (2\pi + \sinh 2\pi)} \right] \alpha_0^2 - \frac{\pi^4}{12(1-\nu^2)} \right\} \alpha - \frac{\pi^4}{12(1-\nu^2)} \alpha_0 = 0 \quad (7)$$

この解析結果を用い、 $\eta = 0.5\alpha/(1+\alpha)$ における ξ 方向の応力度の平均値が降伏点応力度 K 等しくなるときを板の極限状態と仮定すると、板の圧縮耐荷力の比 $(\bar{\sigma}_x/\sigma_Y)_{ult}$ は

$$(\bar{\sigma}_x/\sigma_Y)_{ult} = 1 - \frac{\pi^2(\alpha^2 - \alpha_0^2)}{8} \cos \left(\frac{\pi \alpha}{1+\alpha} \right) \frac{1}{(b/t \sqrt{\sigma_Y/E})^2} \quad (8)$$

で示される。 (7), (8)式より α を求めて算出した耐荷力比は計算値1としてTable-1を示す。

(6)式の応力関数重なり、Fig. 2 の板の ξ 方向応力度の最大となる位置は $\xi = 0.5$, $\eta = 0$ and 1である。この点が降伏する荷重比 $(\bar{\sigma}_x/\sigma_Y)_{yield}$ は次式で示される。

$$(\bar{\sigma}_x/\sigma_Y)_{yield} = 1 - \frac{\pi^2(\alpha^2 - \alpha_0^2)}{8} \cdot \frac{2 \sinh 2\pi}{2\pi + \sinh 2\pi} \frac{1}{(b/t \sqrt{\sigma_Y/E})^2} \quad (9)$$

Table-1 の耐荷力比の計算値 \times は

(7), (9)式より $(\bar{\sigma}_x/\sigma_Y)_{yield}$ を求める。
その荷重 K における $\xi = 0.5$, $\eta = 1$ の点の降伏を条件として、残留応力を初期換算して、さうして、(7)
(8)式より算出したものである。

3. 計算結果と検討 弾性解 K
より耐荷力の算出において、初期
たわみのみを考慮する場合は従来
の各種のモデル化により比較的精
度良く求められるが、残留応力を考慮
した場合は一般に精度が悪い。こ
れは板が極限状態に近くいくつれて
塑性化が進み、残留応力度の一端、あ
るいは全部が消滅することに起因するものと思われる。このような理由により残留応力度を初期
たわみに換算するより比較的良好な計算結果が得られた。本文より次のことがいえる。

$b/t/\sqrt{\sigma_Y/E}$	α	α_0	耐荷力比			換算 初期たわみ
			実験値	計算値1	計算値2	
0.863	0.33	0.04	1.01	1.0	1.0	0.0
1.31	0.16	0.04	0.99	1.0	1.0	0.0
1.86	0.0	0.54	0.73	0.71	0.71	0.0
1.86	0.44	0.1	0.72	0.80	0.74	0.21
2.50	0.0	0.03	0.68	0.74	0.74	0.0
2.51	0.0	0.4	0.66	0.65	0.65	0.0
2.50	0.48	0.18	0.60	0.62	0.61	0.43
2.50	0.22	0.51	0.59	0.56	0.62	0.12
2.50	0.0	0.03	0.71	0.74	0.74	0.0
2.51	0.01	0.24	0.67	0.68	0.68	0.0
3.20	0.01	0.02	0.61	0.61	0.61	0.0
3.20	0.0	1.12	0.57	0.52	0.52	0.0
3.20	0.22	1.32	0.53	0.43	0.50	0.0
3.20	0.0	0.05	0.62	0.61	0.61	0.0
3.20	0.39	0.01	0.56	0.52	0.57	0.39
3.21	0.02	0.3	0.58	0.57	0.57	0.07

参考文献 1) 前田・日笠、初期不整のあり板要素の耐荷力について(その1), 関西支部講演概要集, S.51.

2) 前田・日笠、同(その2), 土木学会第31回年次講演概要集, S.51. 3) R. Magouï, Ph.D. Dissertation, 1973.